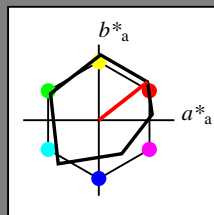


Eingabe: Farbmétrisches Offset-Reflektiv-System ORS18

für Buntton $h^* = lab^*h = 38/360 = 0.106$
 lab^*tch und lab^*nch

A: Buntton O
 LCH*Ma: 48 82 38
 olv*Ma: 1.0 0.0 0.0

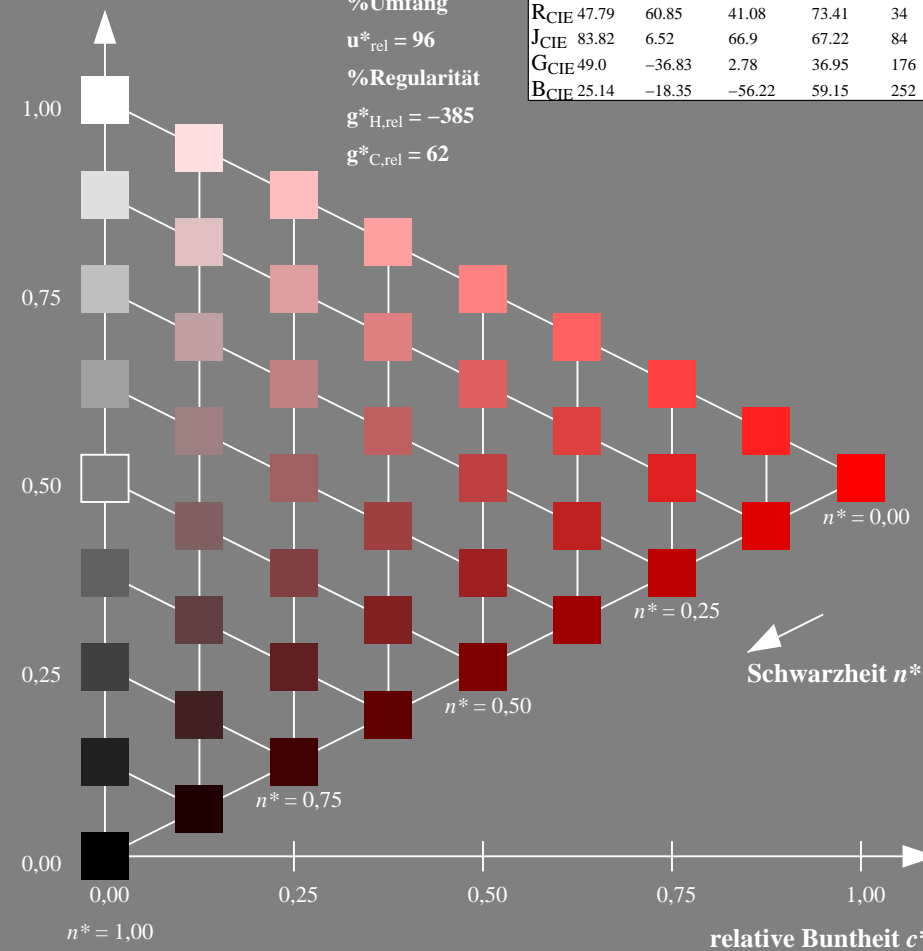
Dreiecks-Helligkeit t^*



ORS18; adaptierte CIELAB-Daten

| | $L^*=L^*_a$ | a^*_a | b^*_a | $C^*_{ab,a}$ | $h^*_{ab,a}$ |
|------------------|-------------|---------|---------|--------------|--------------|
| O _{Ma} | 47.94 | 64.42 | 50.58 | 81.9 | 38 |
| Y _{Ma} | 92.62 | 2.41 | 86.36 | 86.39 | 88 |
| L _{Ma} | 50.9 | -63.82 | 35.02 | 72.81 | 151 |
| C _{Ma} | 51.25 | -53.68 | -57.69 | 78.82 | 227 |
| V _{Ma} | 25.72 | 30.34 | -44.37 | 53.76 | 304 |
| M _{Ma} | 56.25 | 70.59 | 7.57 | 70.99 | 6 |
| N _{Ma} | 18.11 | 0.0 | 0.0 | 0.0 | 0 |
| W _{Ma} | 95.6 | 0.0 | 0.0 | 0.0 | 0 |
| R _{CIE} | 47.79 | 60.85 | 41.08 | 73.41 | 34 |
| J _{CIE} | 83.82 | 6.52 | 66.9 | 67.22 | 84 |
| G _{CIE} | 49.0 | -36.83 | 2.78 | 36.95 | 176 |
| B _{CIE} | 25.14 | -18.35 | -56.22 | 59.15 | 252 |

%Umfang
 $u^*_{rel} = 96$
 %Regularität
 $g^*_{H,rel} = -385$
 $g^*_{C,rel} = 62$



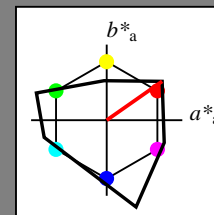
RG700-7, 9stufige Reihen für konstanten CIELAB Buntton 38/360 = 0.106 (links)

Ausgabe: Farbmétrisches Fernseh-Licht-System TLS00

für Buntton $h^* = lab^*h = 35/360 = 0.097$
 lab^*tch und lab^*nch

A: Buntton O
 LCH*Ma: 66 90 35
 olv*Ma: 1.0 0.0 0.0

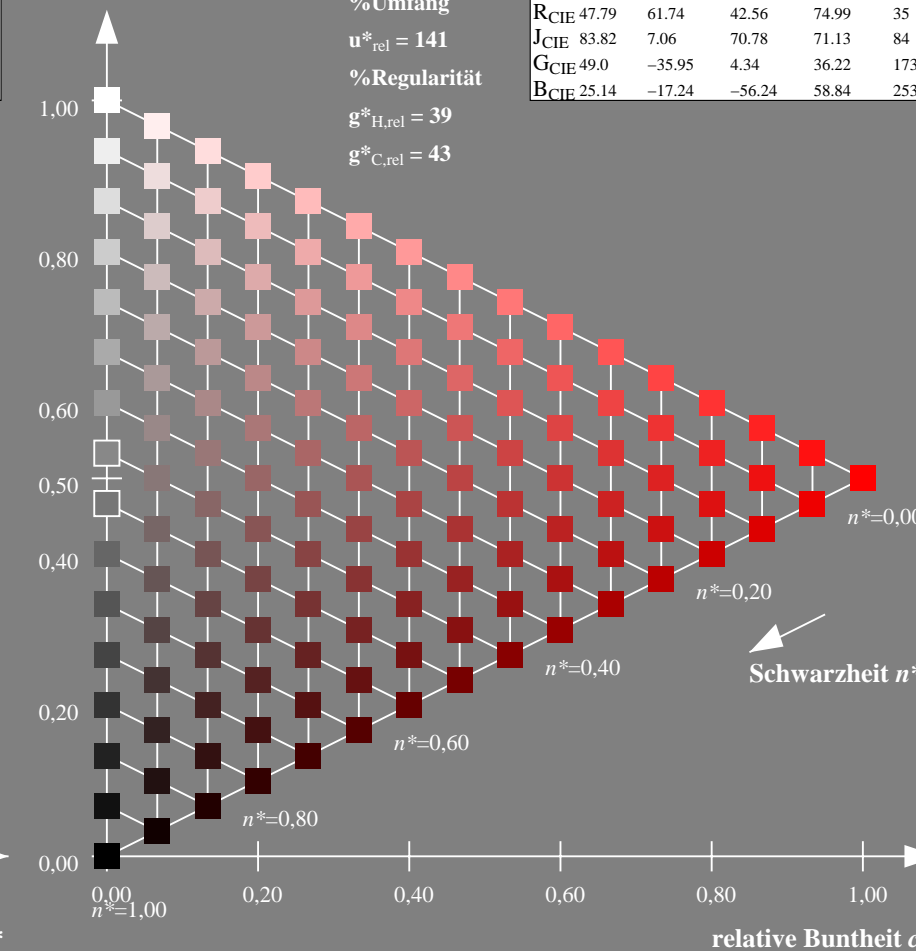
Dreiecks-Helligkeit t^*



TLS00; adaptierte CIELAB-Daten

| | $L^*=L^*_a$ | a^*_a | b^*_a | $C^*_{ab,a}$ | $h^*_{ab,a}$ |
|------------------|-------------|---------|---------|--------------|--------------|
| O _{Ma} | 65.56 | 73.34 | 51.39 | 89.55 | 35 |
| Y _{Ma} | 94.78 | -3.49 | 52.24 | 52.36 | 94 |
| L _{Ma} | 77.48 | -92.97 | 36.0 | 99.71 | 159 |
| C _{Ma} | 78.36 | -82.69 | -22.74 | 85.77 | 195 |
| V _{Ma} | 12.55 | 38.81 | -114.81 | 121.2 | 289 |
| M _{Ma} | 66.71 | 76.08 | -29.8 | 81.71 | 339 |
| N _{Ma} | 0.01 | 0.0 | 0.0 | 0.0 | 0 |
| W _{Ma} | 95.41 | 0.0 | 0.0 | 0.0 | 0 |
| R _{CIE} | 47.79 | 61.74 | 42.56 | 74.99 | 35 |
| J _{CIE} | 83.82 | 7.06 | 70.78 | 71.13 | 84 |
| G _{CIE} | 49.0 | -35.95 | 4.34 | 36.22 | 173 |
| B _{CIE} | 25.14 | -17.24 | -56.24 | 58.84 | 253 |

%Umfang
 $u^*_{rel} = 141$
 %Regularität
 $g^*_{H,rel} = 39$
 $g^*_{C,rel} = 43$



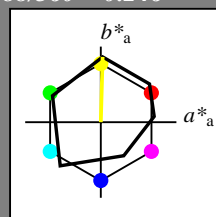
16stufige Reihen für konstanten CIELAB Buntton 35/360 = 0.097 (rechts)

Eingabe: Farbmétrisches Offset-Reflektiv-System ORS18

für Buntton $h^* = lab^*h = 88/360 = 0.246$
 lab^*tch und lab^*nch

A: Buntton Y
 LCH*Ma: 93 86 88
 olv*Ma: 1.0 1.0 0.0

Dreiecks-Helligkeit t^*



ORS18; adaptierte CIELAB-Daten

| | $L^*=L^*_a$ | a^*_a | b^*_a | $C^*_{ab,a}$ | $h^*_{ab,a}$ |
|------------------|-------------|---------|---------|--------------|--------------|
| O _{Ma} | 47.94 | 64.42 | 50.58 | 81.9 | 38 |
| Y _{Ma} | 92.62 | 2.41 | 86.36 | 86.39 | 88 |
| L _{Ma} | 50.9 | -63.82 | 35.02 | 72.81 | 151 |
| C _{Ma} | 51.25 | -53.68 | -57.69 | 78.82 | 227 |
| V _{Ma} | 25.72 | 30.34 | -44.37 | 53.76 | 304 |
| M _{Ma} | 56.25 | 70.59 | 7.57 | 70.99 | 6 |
| N _{Ma} | 18.11 | 0.0 | 0.0 | 0.0 | 0 |
| W _{Ma} | 95.6 | 0.0 | 0.0 | 0.0 | 0 |
| R _{CIE} | 47.79 | 60.85 | 41.08 | 73.41 | 34 |
| J _{CIE} | 83.82 | 6.52 | 66.9 | 67.22 | 84 |
| G _{CIE} | 49.0 | -36.83 | 2.78 | 36.95 | 176 |
| B _{CIE} | 25.14 | -18.35 | -56.22 | 59.15 | 252 |

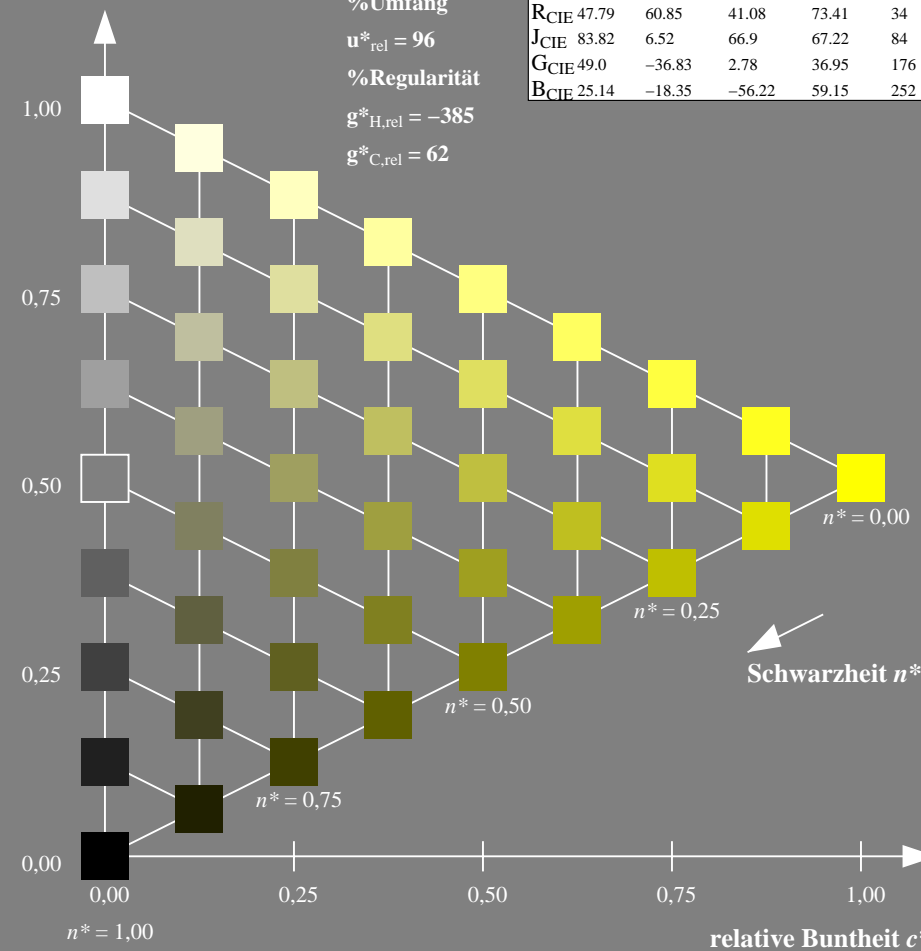
%Umfang

$u^*_{rel} = 96$

%Regularität

$g^*_{H,rel} = -385$

$g^*_{C,rel} = 62$

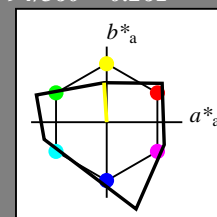


Ausgabe: Farbmétrisches Fernseh-Licht-System TLS00

für Buntton $h^* = lab^*h = 94/360 = 0.261$
 lab^*tch und lab^*nch

A: Buntton Y
 LCH*Ma: 95 52 94
 olv*Ma: 1.0 1.0 0.0

Dreiecks-Helligkeit t^*



TLS00; adaptierte CIELAB-Daten

| | $L^*=L^*_a$ | a^*_a | b^*_a | $C^*_{ab,a}$ | $h^*_{ab,a}$ |
|------------------|-------------|---------|---------|--------------|--------------|
| O _{Ma} | 65.56 | 73.34 | 51.39 | 89.55 | 35 |
| Y _{Ma} | 94.78 | -3.49 | 52.24 | 52.36 | 94 |
| L _{Ma} | 77.48 | -92.97 | 36.0 | 99.71 | 159 |
| C _{Ma} | 78.36 | -82.69 | -22.74 | 85.77 | 195 |
| V _{Ma} | 12.55 | 38.81 | -114.81 | 121.2 | 289 |
| M _{Ma} | 66.71 | 76.08 | -29.8 | 81.71 | 339 |
| N _{Ma} | 0.01 | 0.0 | 0.0 | 0.0 | 0 |
| W _{Ma} | 95.41 | 0.0 | 0.0 | 0.0 | 0 |
| R _{CIE} | 47.79 | 61.74 | 42.56 | 74.99 | 35 |
| J _{CIE} | 83.82 | 7.06 | 70.78 | 71.13 | 84 |
| G _{CIE} | 49.0 | -35.95 | 4.34 | 36.22 | 173 |
| B _{CIE} | 25.14 | -17.24 | -56.24 | 58.84 | 253 |

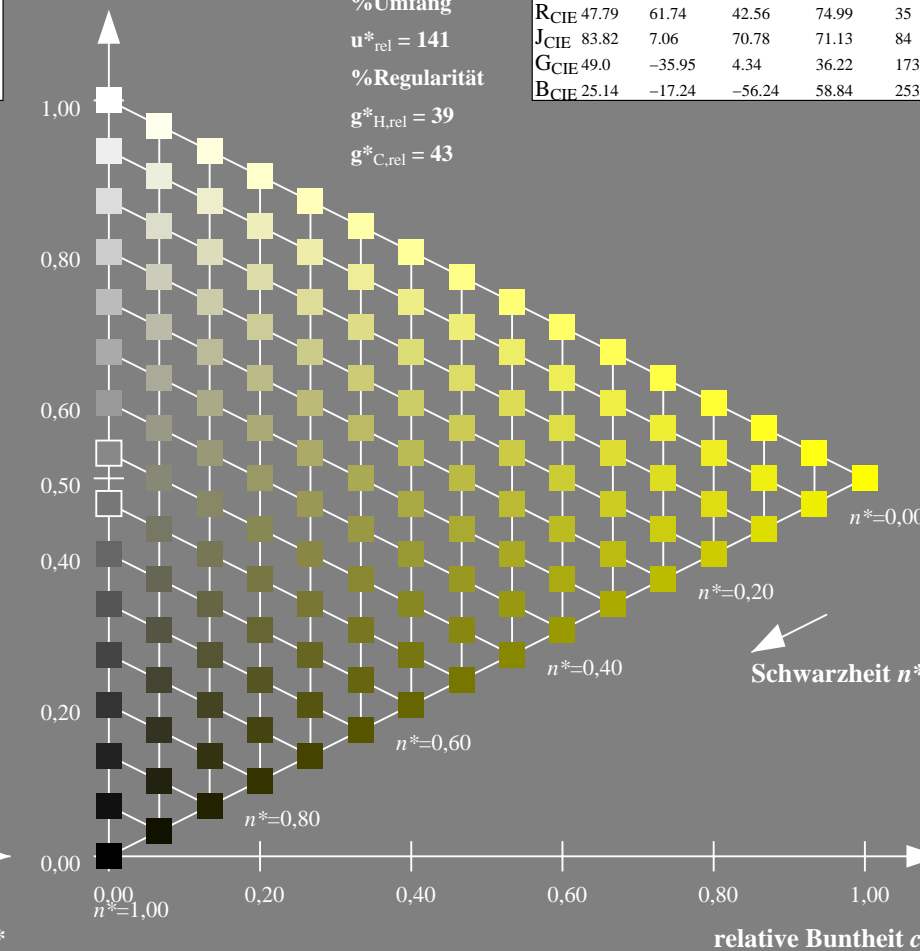
%Umfang

$u^*_{rel} = 141$

%Regularität

$g^*_{H,rel} = 39$

$g^*_{C,rel} = 43$



RG700-7, 9stufige Reihen für konstanten CIELAB Buntton 88/360 = 0.246 (links)

16stufige Reihen für konstanten CIELAB Buntton 94/360 = 0.261 (rechts)

BAM-Prüfvorlage RG70; Farbmétrik-Systeme ORS18 & TLS00 input: olv* setrgbcolor
 A: 9 und 16stufige Farbreihen für 10 Bunttöne

output: no change compared to input

Siehe ähnliche Dateien: <http://www.ps.bam.de/RG70/>
 Technische Information: <http://www.ps.bam.de> Version 2.1, io=1,1

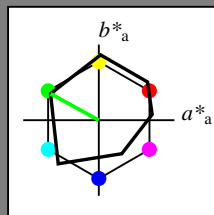
BAM-Registrierung: 20060101-RG70/10L/L70G01NP.PS/.PDF BAM-Material: Code=rh4ta
 Anwendung für Beurteilung und Messung von Drucker- oder Monitorssystemen
 /RG70/ Form: 2/10, Serie: 1/1, Seite: 2
 Seitenhang 2

Eingabe: Farbmimetrisches Offset-Reflektiv-System ORS18

für Buntton $h^* = lab^*h = 151/360 = 0.42$
 lab^*tch und lab^*nch

A: Buntton L
 LCH*Ma: 51 73 151
 olv*Ma: 0.0 1.0 0.0

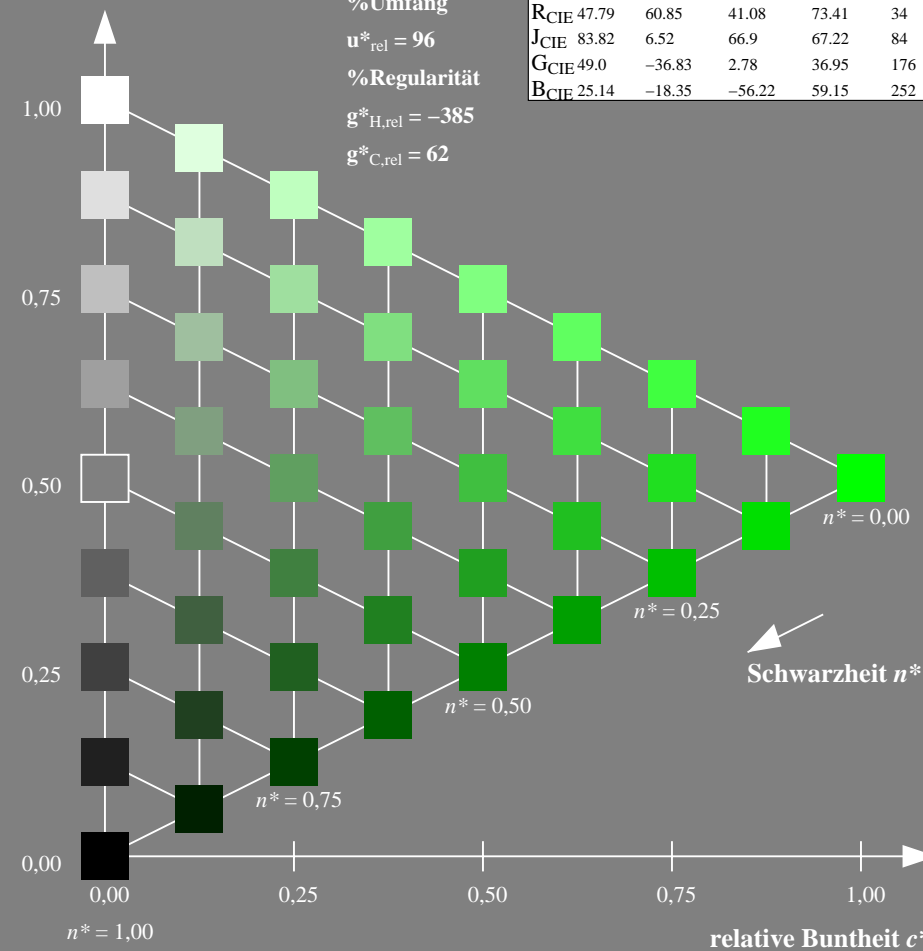
Dreiecks-Helligkeit t^*



ORS18; adaptierte CIELAB-Daten

| | $L^*=L^*_a$ | a^*_a | b^*_a | $C^*_{ab,a}$ | $h^*_{ab,a}$ |
|------------------|-------------|---------|---------|--------------|--------------|
| O _{Ma} | 47.94 | 64.42 | 50.58 | 81.9 | 38 |
| Y _{Ma} | 92.62 | 2.41 | 86.36 | 86.39 | 88 |
| L _{Ma} | 50.9 | -63.82 | 35.02 | 72.81 | 151 |
| C _{Ma} | 51.25 | -53.68 | -57.69 | 78.82 | 227 |
| V _{Ma} | 25.72 | 30.34 | -44.37 | 53.76 | 304 |
| M _{Ma} | 56.25 | 70.59 | 7.57 | 70.99 | 6 |
| N _{Ma} | 18.11 | 0.0 | 0.0 | 0.0 | 0 |
| W _{Ma} | 95.6 | 0.0 | 0.0 | 0.0 | 0 |
| R _{CIE} | 47.79 | 60.85 | 41.08 | 73.41 | 34 |
| J _{CIE} | 83.82 | 6.52 | 66.9 | 67.22 | 84 |
| G _{CIE} | 49.0 | -36.83 | 2.78 | 36.95 | 176 |
| B _{CIE} | 25.14 | -18.35 | -56.22 | 59.15 | 252 |

%Umfang
 $u^*_{rel} = 96$
 %Regularität
 $g^*_{H,rel} = -385$
 $g^*_{C,rel} = 62$



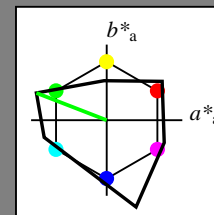
RG700-7, 9stufige Reihen für konstanten CIELAB Buntton 151/360 = 0.42 (links)

Ausgabe: Farbmimetrisches Fernseh-Licht-System TLS00

für Buntton $h^* = lab^*h = 159/360 = 0.441$
 lab^*tch und lab^*nch

A: Buntton L
 LCH*Ma: 77 100 159
 olv*Ma: 0.0 1.0 0.0

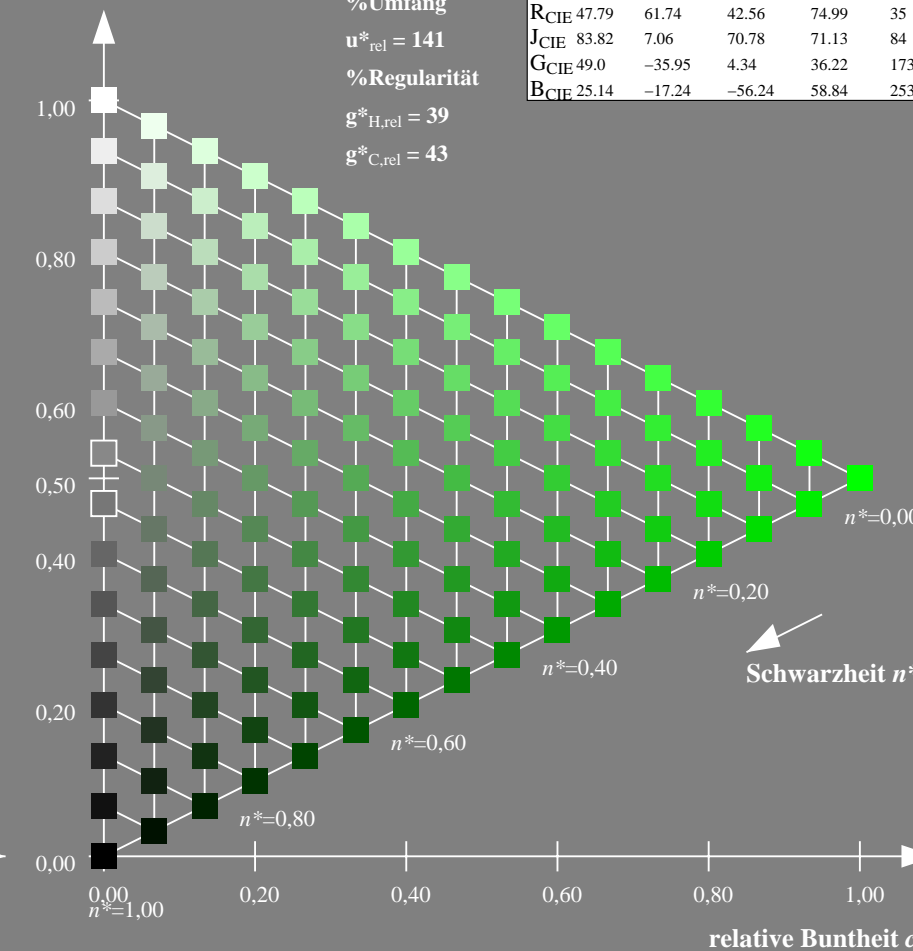
Dreiecks-Helligkeit t^*



TLS00; adaptierte CIELAB-Daten

| | $L^*=L^*_a$ | a^*_a | b^*_a | $C^*_{ab,a}$ | $h^*_{ab,a}$ |
|------------------|-------------|---------|---------|--------------|--------------|
| O _{Ma} | 65.56 | 73.34 | 51.39 | 89.55 | 35 |
| Y _{Ma} | 94.78 | -3.49 | 52.24 | 52.36 | 94 |
| L _{Ma} | 77.48 | -92.97 | 36.0 | 99.71 | 159 |
| C _{Ma} | 78.36 | -82.69 | -22.74 | 85.77 | 195 |
| V _{Ma} | 12.55 | 38.81 | -114.81 | 121.2 | 289 |
| M _{Ma} | 66.71 | 76.08 | -29.8 | 81.71 | 339 |
| N _{Ma} | 0.01 | 0.0 | 0.0 | 0.0 | 0 |
| W _{Ma} | 95.41 | 0.0 | 0.0 | 0.0 | 0 |
| R _{CIE} | 47.79 | 61.74 | 42.56 | 74.99 | 35 |
| J _{CIE} | 83.82 | 7.06 | 70.78 | 71.13 | 84 |
| G _{CIE} | 49.0 | -35.95 | 4.34 | 36.22 | 173 |
| B _{CIE} | 25.14 | -17.24 | -56.24 | 58.84 | 253 |

%Umfang
 $u^*_{rel} = 141$
 %Regularität
 $g^*_{H,rel} = 39$
 $g^*_{C,rel} = 43$



16stufige Reihen für konstanten CIELAB Buntton 159/360 = 0.441 (rechts)

BAM-Prüfvorlage RG70; Farbmimetrik-Systeme ORS18 & TLS00 input: olv* setrgbcolor
 A: 9 und 16stufige Farbreihen für 10 Bunttöne
 output: no change compared to input

BAM-Registrierung: 20060101-RG70/10L/L70G02NP.PS/.PDF BAM-Material: Code=rh4ta
 Anwendung für Beurteilung und Messung von Drucker- oder Monitorssystemen
 /RG70/ Form: 3/10, Serie: 1/1, Seite: 3
 Seitenhang 3

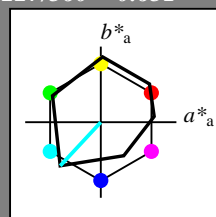
Siehe ähnliche Dateien: <http://www.ps.bam.de/RG70/>
 Technische Information: <http://www.ps.bam.de> Version 2.1, io=1,1

Eingabe: Farbmetrisches Offset-Reflektiv-System ORS18

für Buntton $h^* = lab^*h = 227/360 = 0.631$
 lab^*tch und lab^*nch

A: Buntton C
 LCH*Ma: 51 79 227
 olv*Ma: 0.0 1.0 1.0

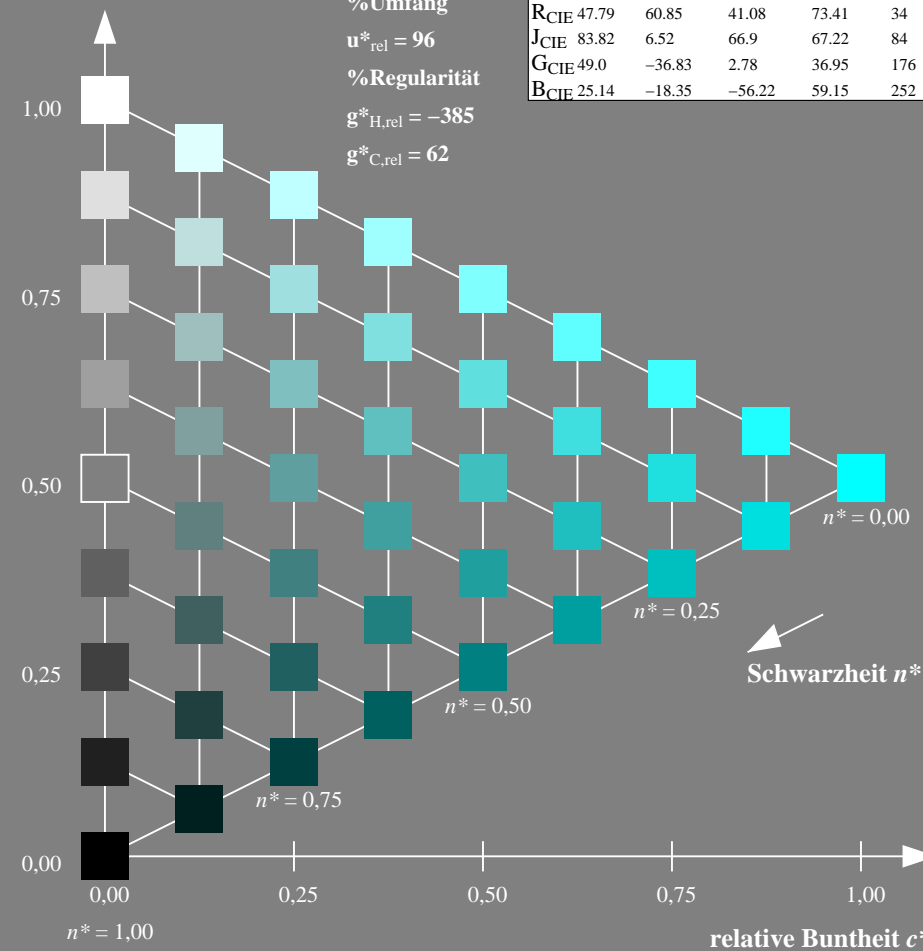
Dreiecks-Helligkeit t^*



ORS18; adaptierte CIELAB-Daten

| | $L^*=L^*_a$ | a^*_a | b^*_a | $C^*_{ab,a}$ | $h^*_{ab,a}$ |
|------------------|-------------|---------|---------|--------------|--------------|
| O _{Ma} | 47.94 | 64.42 | 50.58 | 81.9 | 38 |
| Y _{Ma} | 92.62 | 2.41 | 86.36 | 86.39 | 88 |
| L _{Ma} | 50.9 | -63.82 | 35.02 | 72.81 | 151 |
| C _{Ma} | 51.25 | -53.68 | -57.69 | 78.82 | 227 |
| V _{Ma} | 25.72 | 30.34 | -44.37 | 53.76 | 304 |
| M _{Ma} | 56.25 | 70.59 | 7.57 | 70.99 | 6 |
| N _{Ma} | 18.11 | 0.0 | 0.0 | 0.0 | 0 |
| W _{Ma} | 95.6 | 0.0 | 0.0 | 0.0 | 0 |
| R _{CIE} | 47.79 | 60.85 | 41.08 | 73.41 | 34 |
| J _{CIE} | 83.82 | 6.52 | 66.9 | 67.22 | 84 |
| G _{CIE} | 49.0 | -36.83 | 2.78 | 36.95 | 176 |
| B _{CIE} | 25.14 | -18.35 | -56.22 | 59.15 | 252 |

%Umfang
 $u^*_{rel} = 96$
 %Regularität
 $g^*_{H,rel} = -385$
 $g^*_{C,rel} = 62$



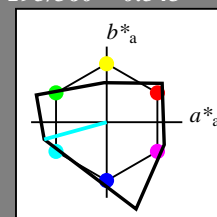
RG700-7, 9stufige Reihen für konstanten CIELAB Buntton 227/360 = 0.631 (links)

Ausgabe: Farbmetrisches Fernseh-Licht-System TLS00

für Buntton $h^* = lab^*h = 195/360 = 0.543$
 lab^*tch und lab^*nch

A: Buntton C
 LCH*Ma: 78 86 195
 olv*Ma: 0.0 1.0 1.0

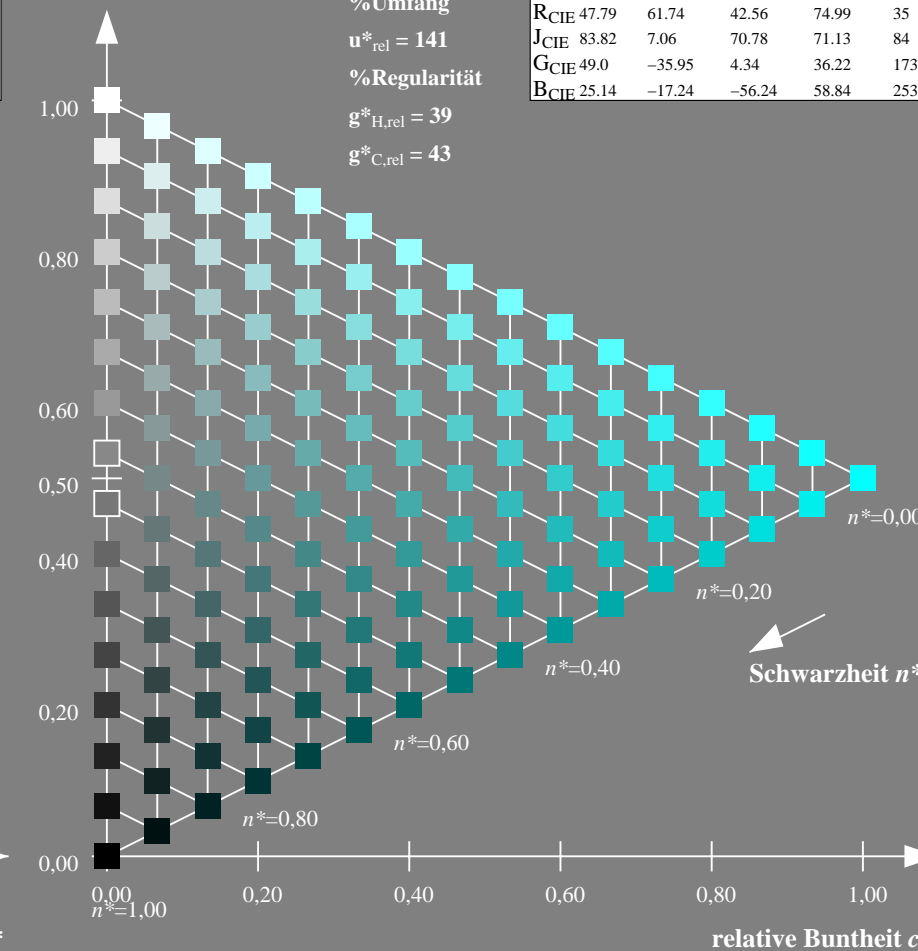
Dreiecks-Helligkeit t^*



TLS00; adaptierte CIELAB-Daten

| | $L^*=L^*_a$ | a^*_a | b^*_a | $C^*_{ab,a}$ | $h^*_{ab,a}$ |
|------------------|-------------|---------|---------|--------------|--------------|
| O _{Ma} | 65.56 | 73.34 | 51.39 | 89.55 | 35 |
| Y _{Ma} | 94.78 | -3.49 | 52.24 | 52.36 | 94 |
| L _{Ma} | 77.48 | -92.97 | 36.0 | 99.71 | 159 |
| C _{Ma} | 78.36 | -82.69 | -22.74 | 85.77 | 195 |
| V _{Ma} | 12.55 | 38.81 | -114.81 | 121.2 | 289 |
| M _{Ma} | 66.71 | 76.08 | -29.8 | 81.71 | 339 |
| N _{Ma} | 0.01 | 0.0 | 0.0 | 0.0 | 0 |
| W _{Ma} | 95.41 | 0.0 | 0.0 | 0.0 | 0 |
| R _{CIE} | 47.79 | 61.74 | 42.56 | 74.99 | 35 |
| J _{CIE} | 83.82 | 7.06 | 70.78 | 71.13 | 84 |
| G _{CIE} | 49.0 | -35.95 | 4.34 | 36.22 | 173 |
| B _{CIE} | 25.14 | -17.24 | -56.24 | 58.84 | 253 |

%Umfang
 $u^*_{rel} = 141$
 %Regularität
 $g^*_{H,rel} = 39$
 $g^*_{C,rel} = 43$



16stufige Reihen für konstanten CIELAB Buntton 195/360 = 0.543 (rechts)

BAM-Prüfvorlage RG70; Farbmetrik-Systeme ORS18 & TLS00 input: olv* setrgbcolor
 A: 9 und 16stufige Farbreihen für 10 Bunttöne
 output: no change compared to input

Siehe ähnliche Dateien: <http://www.ps.bam.de/RG70/>
 Technische Information: <http://www.ps.bam.de> Version 2.1, io=1,1

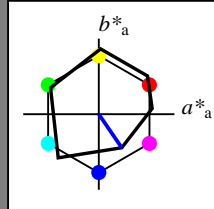
BAM-Registrierung: 20060101-RG70/10L/L70G03NP.PS/.PDF BAM-Material: Code=rh4ta
 Anwendung für Beurteilung und Messung von Drucker- oder Monitorssystemen
 /RG70/ Form: 4/10, Serie: 1/1, Seite: 4
 Seitenhang 4

Eingabe: Farbmétrisches Offset-Reflektiv-System ORS18

für Buntton $h^* = lab^*h = 304/360 = 0.845$
 lab^*tch und lab^*nch

A: Buntton V
 LCH*Ma: 26 54 304
 olv*Ma: 0.0 0.0 1.0

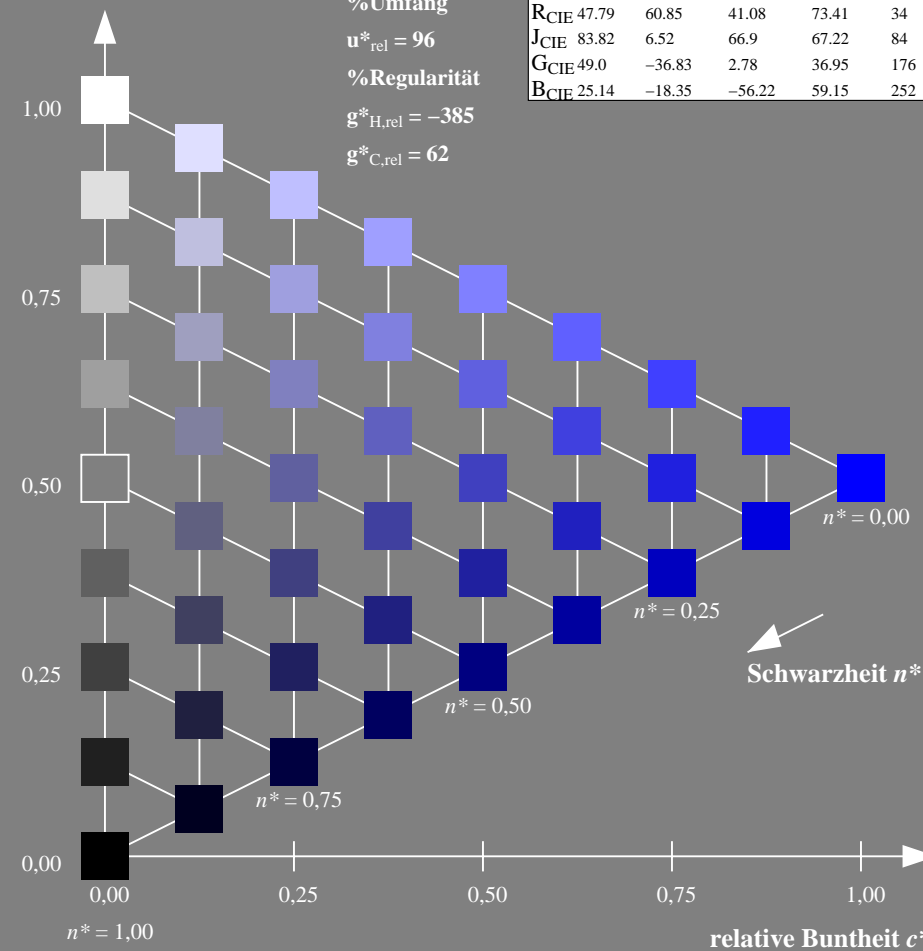
Dreiecks-Helligkeit t^*



ORS18; adaptierte CIELAB-Daten

| | $L^*=L^*_a$ | a^*_a | b^*_a | $C^*_{ab,a}$ | $h^*_{ab,a}$ |
|------------------|-------------|---------|---------|--------------|--------------|
| O _{Ma} | 47.94 | 64.42 | 50.58 | 81.9 | 38 |
| Y _{Ma} | 92.62 | 2.41 | 86.36 | 86.39 | 88 |
| L _{Ma} | 50.9 | -63.82 | 35.02 | 72.81 | 151 |
| C _{Ma} | 51.25 | -53.68 | -57.69 | 78.82 | 227 |
| V _{Ma} | 25.72 | 30.34 | -44.37 | 53.76 | 304 |
| M _{Ma} | 56.25 | 70.59 | 7.57 | 70.99 | 6 |
| N _{Ma} | 18.11 | 0.0 | 0.0 | 0.0 | 0 |
| W _{Ma} | 95.6 | 0.0 | 0.0 | 0.0 | 0 |
| R _{CIE} | 47.79 | 60.85 | 41.08 | 73.41 | 34 |
| J _{CIE} | 83.82 | 6.52 | 66.9 | 67.22 | 84 |
| G _{CIE} | 49.0 | -36.83 | 2.78 | 36.95 | 176 |
| B _{CIE} | 25.14 | -18.35 | -56.22 | 59.15 | 252 |

%Umfang
 $u^*_{rel} = 96$
 %Regularität
 $g^*_{H,rel} = -385$
 $g^*_{C,rel} = 62$



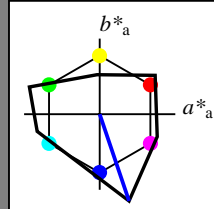
RG700-7, 9stufige Reihen für konstanten CIELAB Buntton 304/360 = 0.845 (links)

Ausgabe: Farbmétrisches Fernseh-Licht-System TLS00

für Buntton $h^* = lab^*h = 289/360 = 0.802$
 lab^*tch und lab^*nch

A: Buntton V
 LCH*Ma: 13 121 289
 olv*Ma: 0.0 0.0 1.0

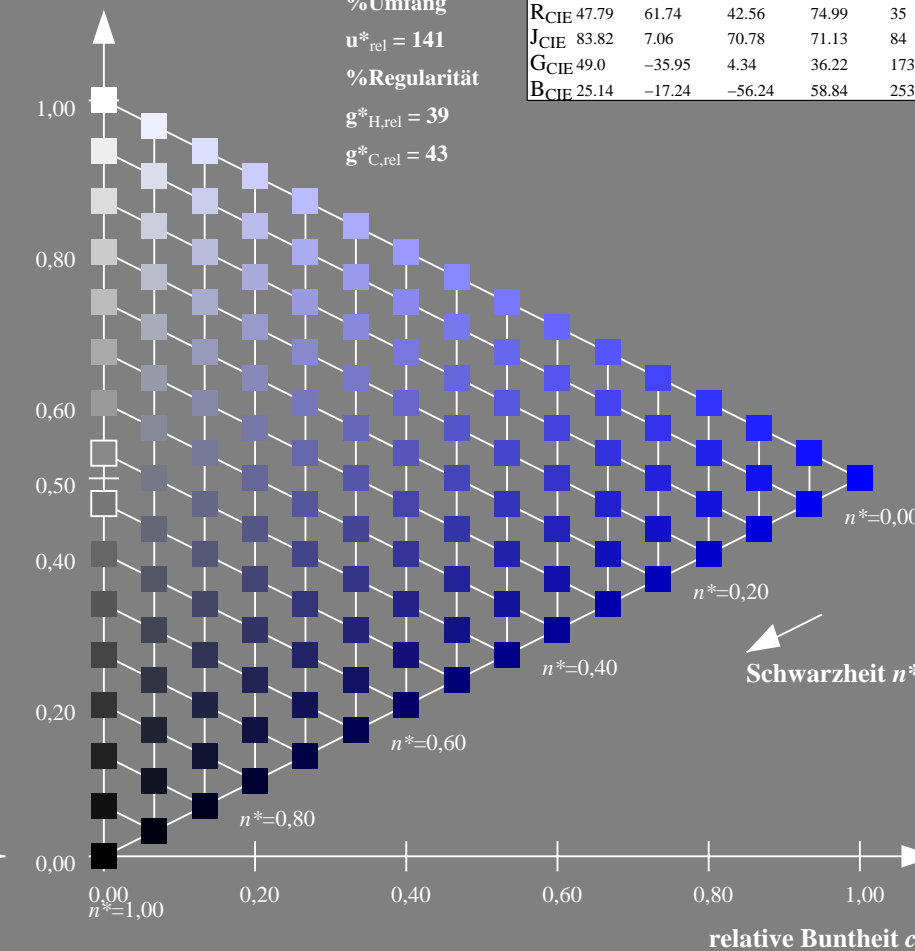
Dreiecks-Helligkeit t^*



TLS00; adaptierte CIELAB-Daten

| | $L^*=L^*_a$ | a^*_a | b^*_a | $C^*_{ab,a}$ | $h^*_{ab,a}$ |
|------------------|-------------|---------|---------|--------------|--------------|
| O _{Ma} | 65.56 | 73.34 | 51.39 | 89.55 | 35 |
| Y _{Ma} | 94.78 | -3.49 | 52.24 | 52.36 | 94 |
| L _{Ma} | 77.48 | -92.97 | 36.0 | 99.71 | 159 |
| C _{Ma} | 78.36 | -82.69 | -22.74 | 85.77 | 195 |
| V _{Ma} | 12.55 | 38.81 | -114.81 | 121.2 | 289 |
| M _{Ma} | 66.71 | 76.08 | -29.8 | 81.71 | 339 |
| N _{Ma} | 0.01 | 0.0 | 0.0 | 0.0 | 0 |
| W _{Ma} | 95.41 | 0.0 | 0.0 | 0.0 | 0 |
| R _{CIE} | 47.79 | 61.74 | 42.56 | 74.99 | 35 |
| J _{CIE} | 83.82 | 7.06 | 70.78 | 71.13 | 84 |
| G _{CIE} | 49.0 | -35.95 | 4.34 | 36.22 | 173 |
| B _{CIE} | 25.14 | -17.24 | -56.24 | 58.84 | 253 |

%Umfang
 $u^*_{rel} = 141$
 %Regularität
 $g^*_{H,rel} = 39$
 $g^*_{C,rel} = 43$



16stufige Reihen für konstanten CIELAB Buntton 289/360 = 0.802 (rechts)

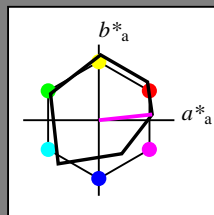
BAM-Prüfvorlage RG70; Farbmétrik-Systeme ORS18 & TLS00 input: olv* setrgbcolor
 A: 9 und 16stufige Farbreihen für 10 Bunttöne
 output: no change compared to input

Eingabe: Farbmimetrisches Offset-Reflektiv-System ORS18

für Buntton $h^* = lab^*h = 6/360 = 0.017$
 lab^*tch und lab^*nch

A: Buntton M
 LCH*Ma: 56 71 6
 olv*Ma: 1.0 0.0 1.0

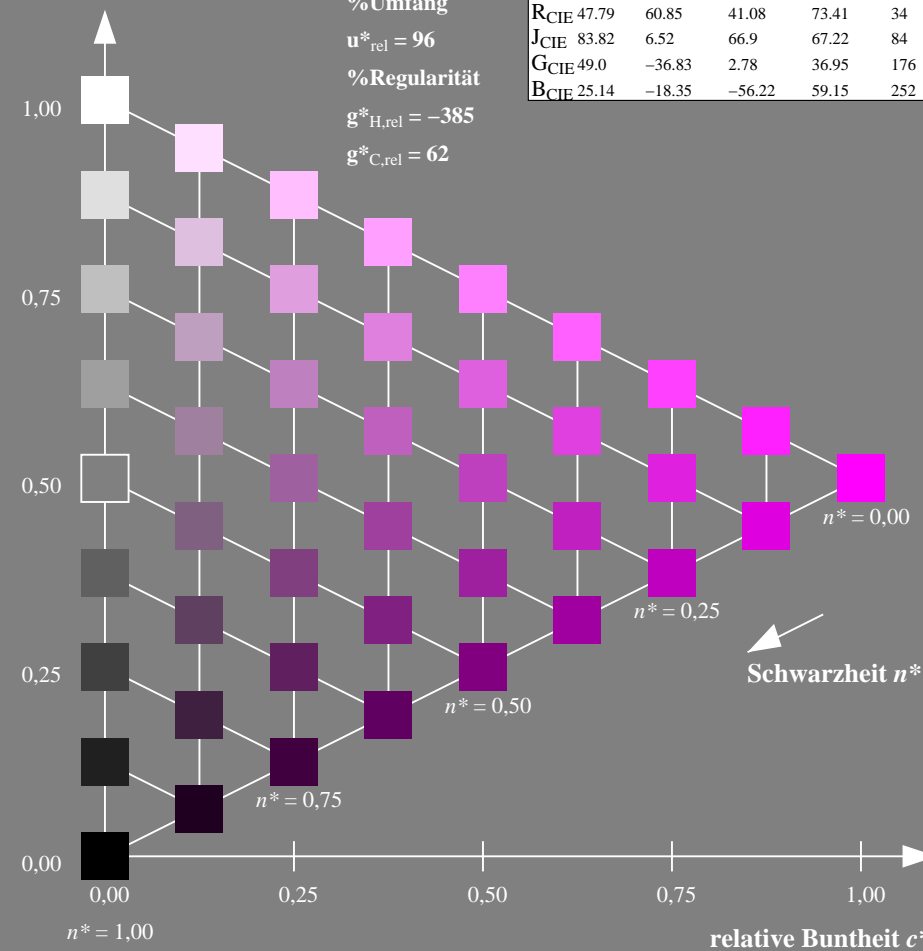
Dreiecks-Helligkeit t^*



ORS18; adaptierte CIELAB-Daten

| | $L^*=L^*_a$ | a^*_a | b^*_a | $C^*_{ab,a}$ | $h^*_{ab,a}$ |
|------|-------------|---------|---------|--------------|--------------|
| OMa | 47.94 | 64.42 | 50.58 | 81.9 | 38 |
| YMa | 92.62 | 2.41 | 86.36 | 86.39 | 88 |
| LMa | 50.9 | -63.82 | 35.02 | 72.81 | 151 |
| CMa | 51.25 | -53.68 | -57.69 | 78.82 | 227 |
| VMa | 25.72 | 30.34 | -44.37 | 53.76 | 304 |
| MMa | 56.25 | 70.59 | 7.57 | 70.99 | 6 |
| NMa | 18.11 | 0.0 | 0.0 | 0.0 | 0 |
| WMa | 95.6 | 0.0 | 0.0 | 0.0 | 0 |
| RCIE | 47.79 | 60.85 | 41.08 | 73.41 | 34 |
| JCIE | 83.82 | 6.52 | 66.9 | 67.22 | 84 |
| GCIE | 49.0 | -36.83 | 2.78 | 36.95 | 176 |
| BCIE | 25.14 | -18.35 | -56.22 | 59.15 | 252 |

%Umfang
 $u^*_{rel} = 96$
 %Regularität
 $g^*_{H,rel} = -385$
 $g^*_{C,rel} = 62$



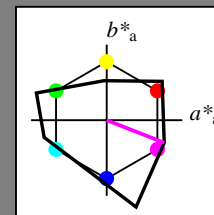
RG700-7, 9stufige Reihen für konstanten CIELAB Buntton 6/360 = 0.017 (links)

Ausgabe: Farbmimetrisches Fernseh-Licht-System TLS00

für Buntton $h^* = lab^*h = 339/360 = 0.941$
 lab^*tch und lab^*nch

A: Buntton M
 LCH*Ma: 67 82 339
 olv*Ma: 1.0 0.0 1.0

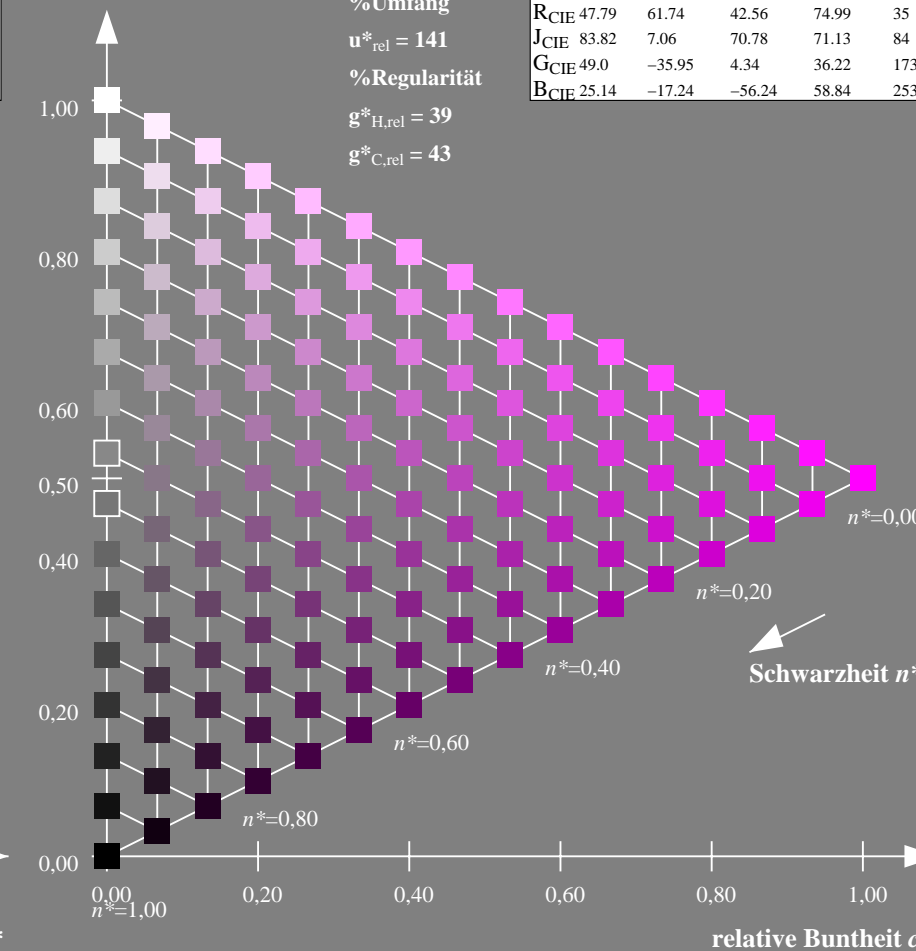
Dreiecks-Helligkeit t^*



TLS00; adaptierte CIELAB-Daten

| | $L^*=L^*_a$ | a^*_a | b^*_a | $C^*_{ab,a}$ | $h^*_{ab,a}$ |
|------|-------------|---------|---------|--------------|--------------|
| OMa | 65.56 | 73.34 | 51.39 | 89.55 | 35 |
| YMa | 94.78 | -3.49 | 52.24 | 52.36 | 94 |
| LMa | 77.48 | -92.97 | 36.0 | 99.71 | 159 |
| CMa | 78.36 | -82.69 | -22.74 | 85.77 | 195 |
| VMa | 12.55 | 38.81 | -114.81 | 121.2 | 289 |
| MMa | 66.71 | 76.08 | -29.8 | 81.71 | 339 |
| NMa | 0.01 | 0.0 | 0.0 | 0.0 | 0 |
| WMa | 95.41 | 0.0 | 0.0 | 0.0 | 0 |
| RCIE | 47.79 | 61.74 | 42.56 | 74.99 | 35 |
| JCIE | 83.82 | 7.06 | 70.78 | 71.13 | 84 |
| GCIE | 49.0 | -35.95 | 4.34 | 36.22 | 173 |
| BCIE | 25.14 | -17.24 | -56.24 | 58.84 | 253 |

%Umfang
 $u^*_{rel} = 141$
 %Regularität
 $g^*_{H,rel} = 39$
 $g^*_{C,rel} = 43$



16stufige Reihen für konstanten CIELAB Buntton 339/360 = 0.941 (rechts)

BAM-Prüfvorlage RG70; Farbmimetrik-Systeme ORS18 & TLS00 input: olv* setrgbcolor
 A: 9 und 16stufige Farbreihen für 10 Bunttöne
 output: no change compared to input

Siehe ähnliche Dateien: <http://www.ps.bam.de/RG70/>
 Technische Information: <http://www.ps.bam.de> Version 2.1, io=1,1

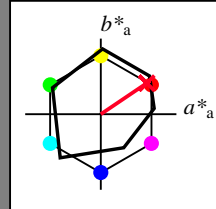
BAM-Registrierung: 20060101-RG70/10L/L70G05NP.PS/.PDF BAM-Material: Code=rh4ta
 Anwendung für Beurteilung und Messung von Drucker- oder Monitorssystemen
 /RG70/ Form: 6/10, Serie: 1/1, Seite: 6
 Seitenzahl: 6

Eingabe: Farbmimetrisches Offset-Reflektiv-System ORS18

für Buntton $h^* = lab^*h = 34/360 = 0.095$
 lab^*tch und lab^*nch

A: Buntton R
 LCH*Ma: 49 79 34
 olv*Ma: 1.0 0.0 0.15

Dreiecks-Helligkeit t^*



ORS18; adaptierte CIELAB-Daten

| | $L^*=L^*_a$ | a^*_a | b^*_a | $C^*_{ab,a}$ | $h^*_{ab,a}$ |
|------------------|-------------|---------|---------|--------------|--------------|
| O _{Ma} | 47.94 | 64.42 | 50.58 | 81.9 | 38 |
| Y _{Ma} | 92.62 | 2.41 | 86.36 | 86.39 | 88 |
| L _{Ma} | 50.9 | -63.82 | 35.02 | 72.81 | 151 |
| C _{Ma} | 51.25 | -53.68 | -57.69 | 78.82 | 227 |
| V _{Ma} | 25.72 | 30.34 | -44.37 | 53.76 | 304 |
| M _{Ma} | 56.25 | 70.59 | 7.57 | 70.99 | 6 |
| N _{Ma} | 18.11 | 0.0 | 0.0 | 0.0 | 0 |
| W _{Ma} | 95.6 | 0.0 | 0.0 | 0.0 | 0 |
| R _{CIE} | 47.79 | 60.85 | 41.08 | 73.41 | 34 |
| J _{CIE} | 83.82 | 6.52 | 66.9 | 67.22 | 84 |
| G _{CIE} | 49.0 | -36.83 | 2.78 | 36.95 | 176 |
| B _{CIE} | 25.14 | -18.35 | -56.22 | 59.15 | 252 |

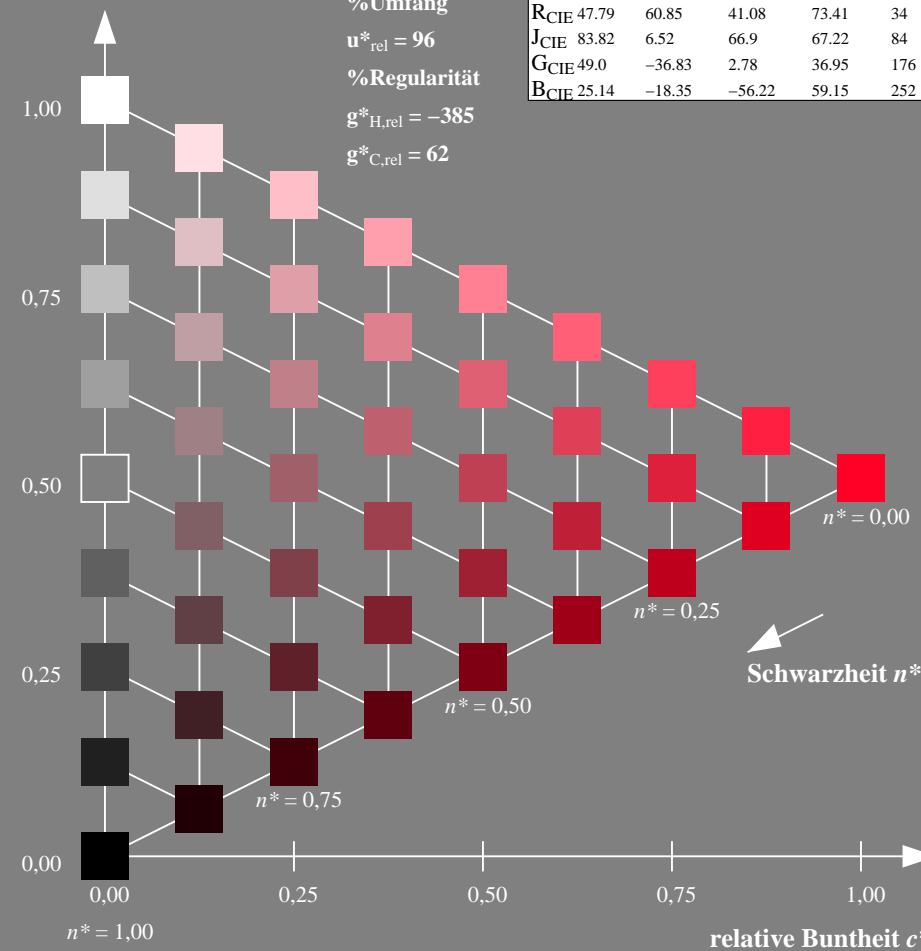
%Umfang

$u^*_{rel} = 96$

%Regularität

$g^*_{H,rel} = -385$

$g^*_{C,rel} = 62$

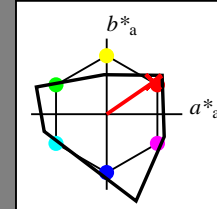


Ausgabe: Farbmimetrisches Fernseh-Licht-System TLS00

für Buntton $h^* = lab^*h = 35/360 = 0.096$
 lab^*tch und lab^*nch

A: Buntton R
 LCH*Ma: 66 89 35
 olv*Ma: 1.0 0.0 0.01

Dreiecks-Helligkeit t^*



TLS00; adaptierte CIELAB-Daten

| | $L^*=L^*_a$ | a^*_a | b^*_a | $C^*_{ab,a}$ | $h^*_{ab,a}$ |
|------------------|-------------|---------|---------|--------------|--------------|
| O _{Ma} | 65.56 | 73.34 | 51.39 | 89.55 | 35 |
| Y _{Ma} | 94.78 | -3.49 | 52.24 | 52.36 | 94 |
| L _{Ma} | 77.48 | -92.97 | 36.0 | 99.71 | 159 |
| C _{Ma} | 78.36 | -82.69 | -22.74 | 85.77 | 195 |
| V _{Ma} | 12.55 | 38.81 | -114.81 | 121.2 | 289 |
| M _{Ma} | 66.71 | 76.08 | -29.8 | 81.71 | 339 |
| N _{Ma} | 0.01 | 0.0 | 0.0 | 0.0 | 0 |
| W _{Ma} | 95.41 | 0.0 | 0.0 | 0.0 | 0 |
| R _{CIE} | 47.79 | 61.74 | 42.56 | 74.99 | 35 |
| J _{CIE} | 83.82 | 7.06 | 70.78 | 71.13 | 84 |
| G _{CIE} | 49.0 | -35.95 | 4.34 | 36.22 | 173 |
| B _{CIE} | 25.14 | -17.24 | -56.24 | 58.84 | 253 |

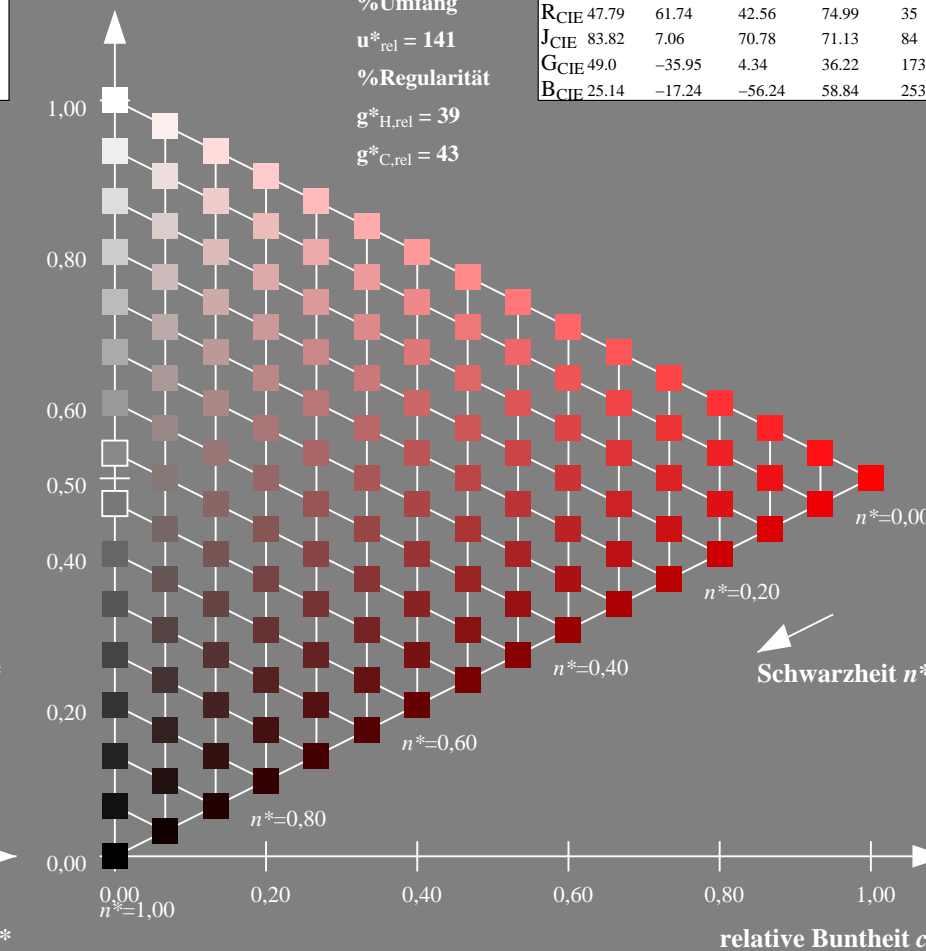
%Umfang

$u^*_{rel} = 141$

%Regularität

$g^*_{H,rel} = 39$

$g^*_{C,rel} = 43$



RG700-7, 9stufige Reihen für konstanten CIELAB Buntton 34/360 = 0.095 (links)

16stufige Reihen für konstanten CIELAB Buntton 35/360 = 0.096 (rechts)

BAM-Prüfvorlage RG70; Farbmimetrik-Systeme ORS18 & TLS00 input: olv* setrgbcolor
 A: 9 und 16stufige Farbreihen für 10 Bunttöne

output: no change compared to input

Siehe ähnliche Dateien: <http://www.ps.bam.de/RG70/>
 Technische Information: <http://www.ps.bam.de> Version 2.1, io=1,1

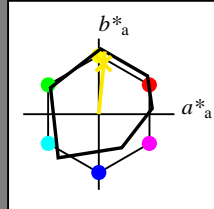
BAM-Registrierung: 20060101-RG70/10L/L70G06NP.PS/.PDF BAM-Material: Code=rh4ta
 Anwendung für Beurteilung und Messung von Drucker- oder Monitorssystemen
 /RG70/ Form: 7/10, Serie: 1/1, Seite: 7
 Seitenzahl: 7

Eingabe: Farbmimetrisches Offset-Reflektiv-System ORS18

für Buntton $h^* = lab^*h = 84/360 = 0.235$
 lab^*tch und lab^*nch

A: Buntton J
 LCH*Ma: 89 83 84
 olv*Ma: 1.0 0.91 0.0

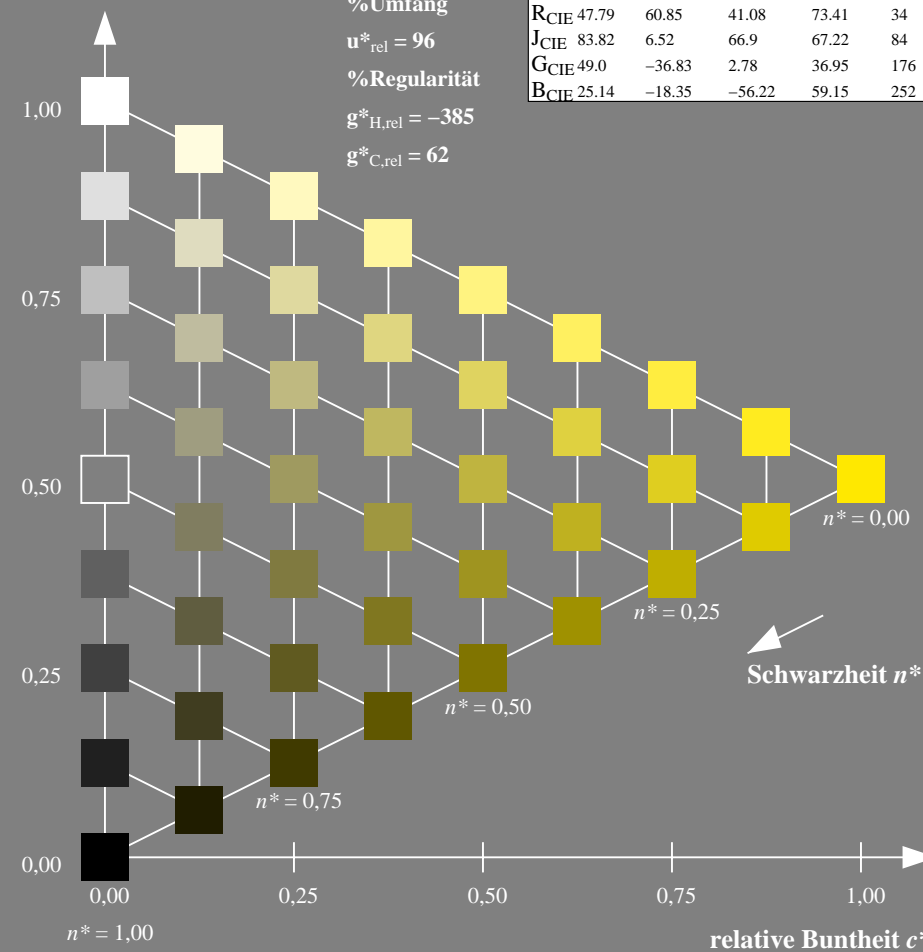
Dreiecks-Helligkeit t^*



ORS18; adaptierte CIELAB-Daten

| | $L^*=L^*_a$ | a^*_a | b^*_a | $C^*_{ab,a}$ | $h^*_{ab,a}$ |
|------------------|-------------|---------|---------|--------------|--------------|
| O _{Ma} | 47.94 | 64.42 | 50.58 | 81.9 | 38 |
| Y _{Ma} | 92.62 | 2.41 | 86.36 | 86.39 | 88 |
| L _{Ma} | 50.9 | -63.82 | 35.02 | 72.81 | 151 |
| C _{Ma} | 51.25 | -53.68 | -57.69 | 78.82 | 227 |
| V _{Ma} | 25.72 | 30.34 | -44.37 | 53.76 | 304 |
| M _{Ma} | 56.25 | 70.59 | 7.57 | 70.99 | 6 |
| N _{Ma} | 18.11 | 0.0 | 0.0 | 0.0 | 0 |
| W _{Ma} | 95.6 | 0.0 | 0.0 | 0.0 | 0 |
| R _{CIE} | 47.79 | 60.85 | 41.08 | 73.41 | 34 |
| J _{CIE} | 83.82 | 6.52 | 66.9 | 67.22 | 84 |
| G _{CIE} | 49.0 | -36.83 | 2.78 | 36.95 | 176 |
| B _{CIE} | 25.14 | -18.35 | -56.22 | 59.15 | 252 |

%Umfang
 $u^*_{rel} = 96$
 %Regularität
 $g^*_{H,rel} = -385$
 $g^*_{C,rel} = 62$



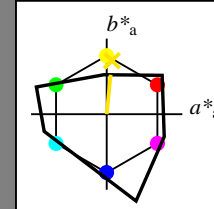
RG700-7, 9stufige Reihen für konstanten CIELAB Buntton 84/360 = 0.235 (links)

Ausgabe: Farbmimetrisches Fernseh-Licht-System TLS00

für Buntton $h^* = lab^*h = 84/360 = 0.234$
 lab^*tch und lab^*nch

A: Buntton J
 LCH*Ma: 91 52 84
 olv*Ma: 1.0 0.89 0.0

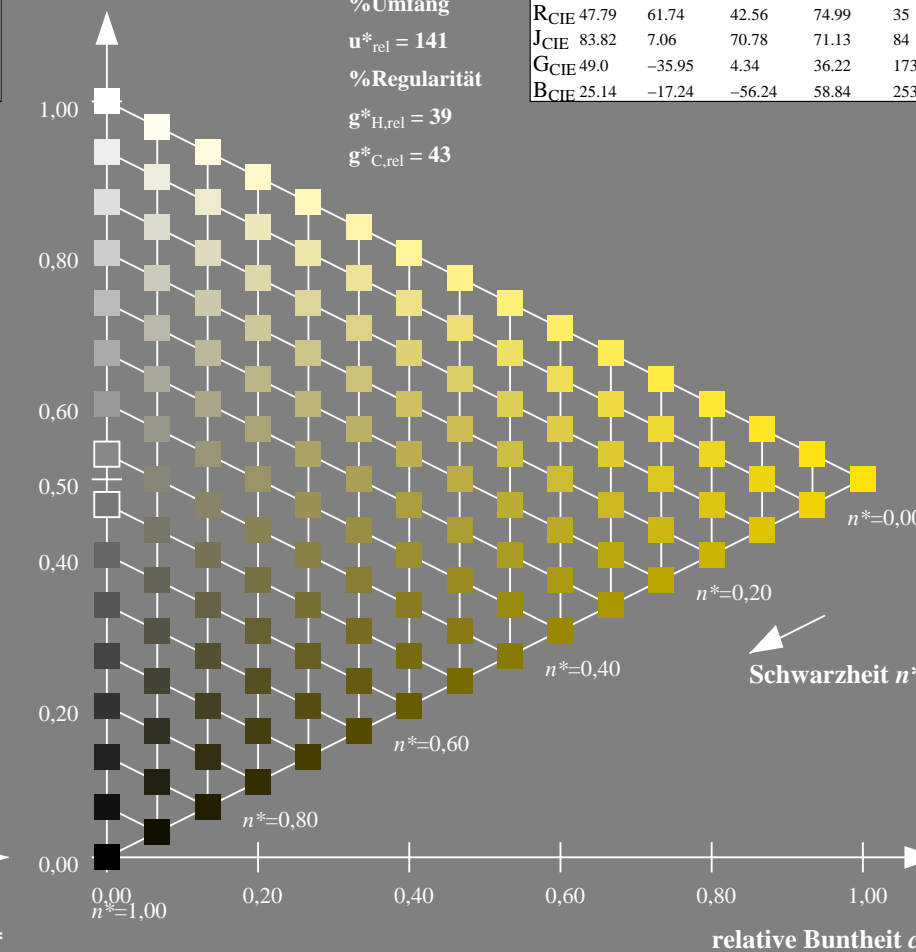
Dreiecks-Helligkeit t^*



TLS00; adaptierte CIELAB-Daten

| | $L^*=L^*_a$ | a^*_a | b^*_a | $C^*_{ab,a}$ | $h^*_{ab,a}$ |
|------------------|-------------|---------|---------|--------------|--------------|
| O _{Ma} | 65.56 | 73.34 | 51.39 | 89.55 | 35 |
| Y _{Ma} | 94.78 | -3.49 | 52.24 | 52.36 | 94 |
| L _{Ma} | 77.48 | -92.97 | 36.0 | 99.71 | 159 |
| C _{Ma} | 78.36 | -82.69 | -22.74 | 85.77 | 195 |
| V _{Ma} | 12.55 | 38.81 | -114.81 | 121.2 | 289 |
| M _{Ma} | 66.71 | 76.08 | -29.8 | 81.71 | 339 |
| N _{Ma} | 0.01 | 0.0 | 0.0 | 0.0 | 0 |
| W _{Ma} | 95.41 | 0.0 | 0.0 | 0.0 | 0 |
| R _{CIE} | 47.79 | 61.74 | 42.56 | 74.99 | 35 |
| J _{CIE} | 83.82 | 7.06 | 70.78 | 71.13 | 84 |
| G _{CIE} | 49.0 | -35.95 | 4.34 | 36.22 | 173 |
| B _{CIE} | 25.14 | -17.24 | -56.24 | 58.84 | 253 |

%Umfang
 $u^*_{rel} = 141$
 %Regularität
 $g^*_{H,rel} = 39$
 $g^*_{C,rel} = 43$



16stufige Reihen für konstanten CIELAB Buntton 84/360 = 0.234 (rechts)

BAM-Prüfvorlage RG70; Farbmimetrik-Systeme ORS18 & TLS00 input: olv* setrgbcolor
 A: 9 und 16stufige Farbreihen für 10 Bunttöne
 output: no change compared to input

BAM-Registrierung: 20060101-RG70/10L/L70G07NP.PS/.PDF BAM-Material: Code=rh4ta
 Anwendung für Beurteilung und Messung von Drucker- oder Monitorssystemen
 /RG70/ Form: 8/10, Serie: 1/1, Seite: 8
 Seitenzahl: 8

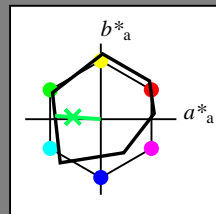
Siehe ähnliche Dateien: <http://www.ps.bam.de/RG70/>
 Technische Information: <http://www.ps.bam.de> Version 2.1, io=1,1

Eingabe: Farbmimetrisches Offset-Reflektiv-System ORS18

für Buntton $h^* = lab^*h = 176/360 = 0.488$
 lab^*tch und lab^*nch

A: Buntton G
 LCH*Ma: 51 61 176
 olv*Ma: 0.0 1.0 0.33

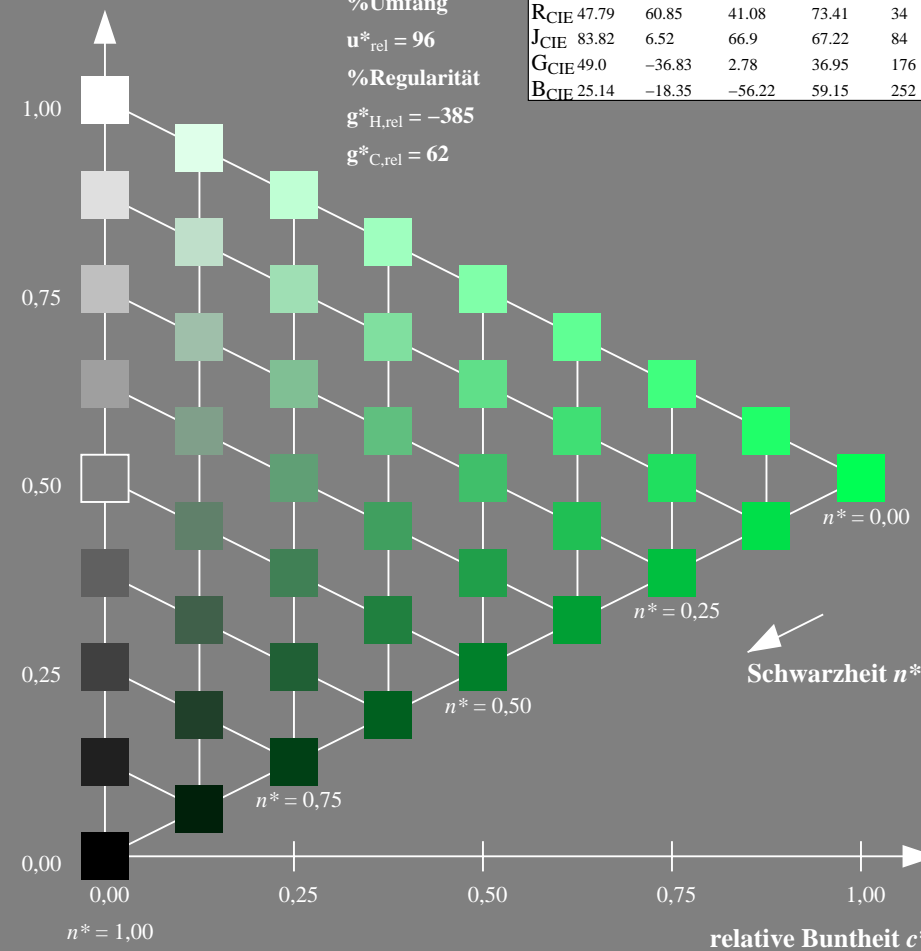
Dreiecks-Helligkeit t^*



ORS18; adaptierte CIELAB-Daten

| | $L^*=L^*_a$ | a^*_a | b^*_a | $C^*_{ab,a}$ | $h^*_{ab,a}$ |
|------------------|-------------|---------|---------|--------------|--------------|
| O _{Ma} | 47.94 | 64.42 | 50.58 | 81.9 | 38 |
| Y _{Ma} | 92.62 | 2.41 | 86.36 | 86.39 | 88 |
| L _{Ma} | 50.9 | -63.82 | 35.02 | 72.81 | 151 |
| C _{Ma} | 51.25 | -53.68 | -57.69 | 78.82 | 227 |
| V _{Ma} | 25.72 | 30.34 | -44.37 | 53.76 | 304 |
| M _{Ma} | 56.25 | 70.59 | 7.57 | 70.99 | 6 |
| N _{Ma} | 18.11 | 0.0 | 0.0 | 0.0 | 0 |
| W _{Ma} | 95.6 | 0.0 | 0.0 | 0.0 | 0 |
| R _{CIE} | 47.79 | 60.85 | 41.08 | 73.41 | 34 |
| J _{CIE} | 83.82 | 6.52 | 66.9 | 67.22 | 84 |
| G _{CIE} | 49.0 | -36.83 | 2.78 | 36.95 | 176 |
| B _{CIE} | 25.14 | -18.35 | -56.22 | 59.15 | 252 |

%Umfang
 $u^*_{rel} = 96$
 %Regularität
 $g^*_{H,rel} = -385$
 $g^*_{C,rel} = 62$



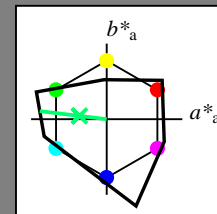
RG700-7, 9stufige Reihen für konstanten CIELAB Buntton 176/360 = 0.488 (links)

Ausgabe: Farbmimetrisches Fernseh-Licht-System TLS00

für Buntton $h^* = lab^*h = 173/360 = 0.481$
 lab^*tch und lab^*nch

A: Buntton G
 LCH*Ma: 78 89 173
 olv*Ma: 0.0 1.0 0.43

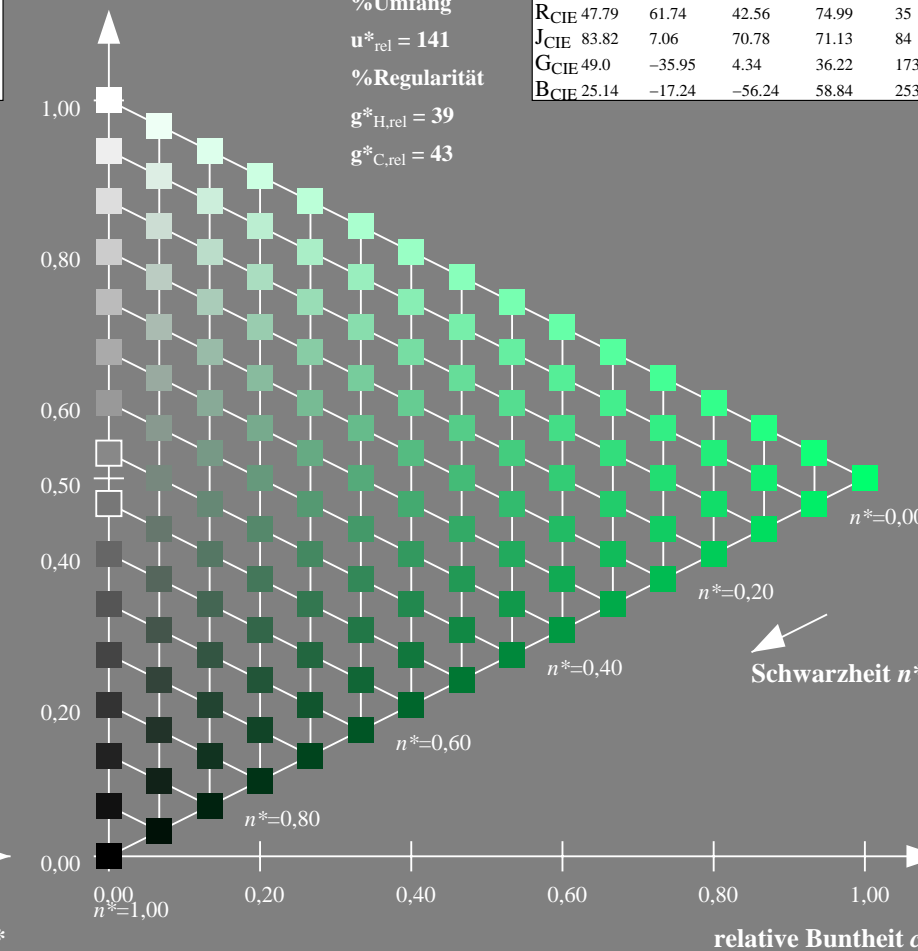
Dreiecks-Helligkeit t^*



TLS00; adaptierte CIELAB-Daten

| | $L^*=L^*_a$ | a^*_a | b^*_a | $C^*_{ab,a}$ | $h^*_{ab,a}$ |
|------------------|-------------|---------|---------|--------------|--------------|
| O _{Ma} | 65.56 | 73.34 | 51.39 | 89.55 | 35 |
| Y _{Ma} | 94.78 | -3.49 | 52.24 | 52.36 | 94 |
| L _{Ma} | 77.48 | -92.97 | 36.0 | 99.71 | 159 |
| C _{Ma} | 78.36 | -82.69 | -22.74 | 85.77 | 195 |
| V _{Ma} | 12.55 | 38.81 | -114.81 | 121.2 | 289 |
| M _{Ma} | 66.71 | 76.08 | -29.8 | 81.71 | 339 |
| N _{Ma} | 0.01 | 0.0 | 0.0 | 0.0 | 0 |
| W _{Ma} | 95.41 | 0.0 | 0.0 | 0.0 | 0 |
| R _{CIE} | 47.79 | 61.74 | 42.56 | 74.99 | 35 |
| J _{CIE} | 83.82 | 7.06 | 70.78 | 71.13 | 84 |
| G _{CIE} | 49.0 | -35.95 | 4.34 | 36.22 | 173 |
| B _{CIE} | 25.14 | -17.24 | -56.24 | 58.84 | 253 |

%Umfang
 $u^*_{rel} = 141$
 %Regularität
 $g^*_{H,rel} = 39$
 $g^*_{C,rel} = 43$



16stufige Reihen für konstanten CIELAB Buntton 173/360 = 0.481 (rechts)

BAM-Prüfvorlage RG70; Farbmimetrik-Systeme ORS18 & TLS00 input: olv* setrgbcolor
 A: 9 und 16stufige Farbreihen für 10 Bunttöne
 output: no change compared to input

Siehe ähnliche Dateien: <http://www.ps.bam.de/RG70/>
 Technische Information: <http://www.ps.bam.de> Version 2.1, io=1,1

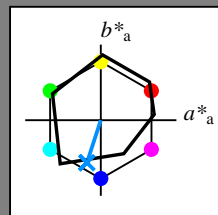
BAM-Registrierung: 20060101-RG70/10L/L70G08NP.PS/.PDF BAM-Material: Code=rh4ta
 Anwendung für Beurteilung und Messung von Drucker- oder Monitorssystemen
 /RG70/ Form: 9/10, Serie: 1/1, Seite: 9
 Seitenhang 9

Eingabe: Farbmétrisches Offset-Reflektiv-System ORS18

für Buntton $h^* = lab^*h = 252/360 = 0.7$
 lab^*tch und lab^*nch

A: Buntton B
 LCH*Ma: 40 55 252
 olv*Ma: 0.0 0.56 1.0

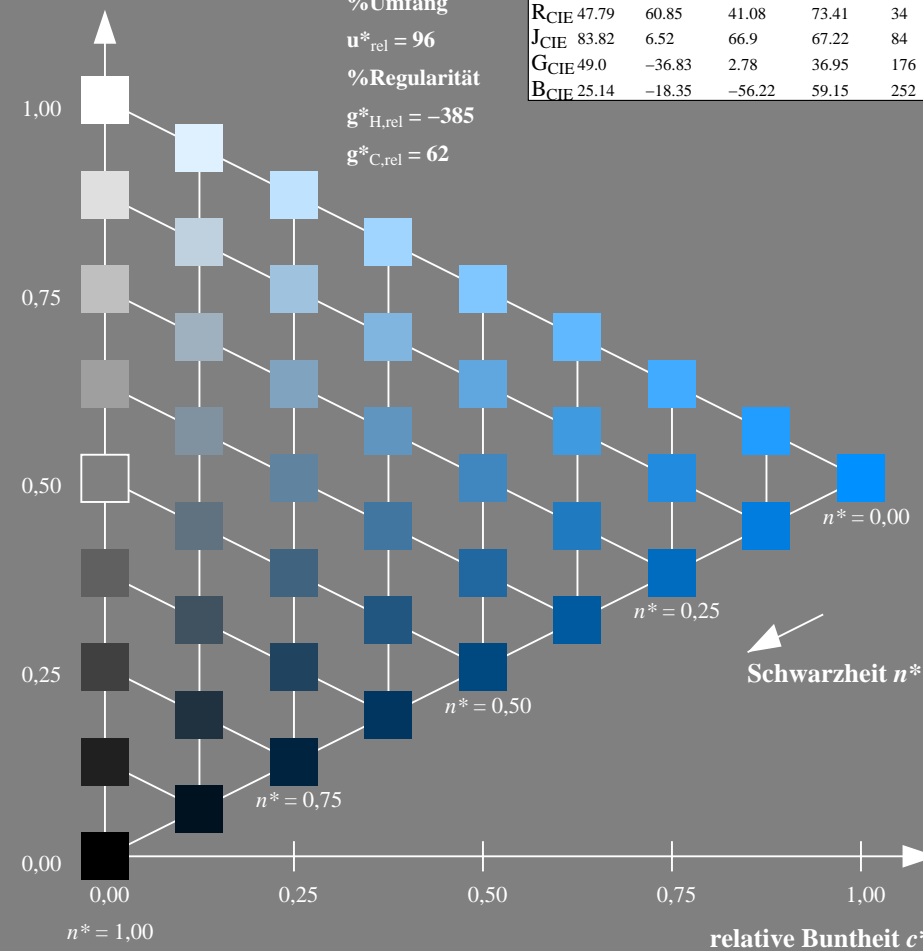
Dreiecks-Helligkeit t^*



ORS18; adaptierte CIELAB-Daten

| | $L^*=L^*_a$ | a^*_a | b^*_a | $C^*_{ab,a}$ | $h^*_{ab,a}$ |
|------|-------------|---------|---------|--------------|--------------|
| OMa | 47.94 | 64.42 | 50.58 | 81.9 | 38 |
| YMa | 92.62 | 2.41 | 86.36 | 86.39 | 88 |
| LMa | 50.9 | -63.82 | 35.02 | 72.81 | 151 |
| CMa | 51.25 | -53.68 | -57.69 | 78.82 | 227 |
| VMa | 25.72 | 30.34 | -44.37 | 53.76 | 304 |
| MMa | 56.25 | 70.59 | 7.57 | 70.99 | 6 |
| NMa | 18.11 | 0.0 | 0.0 | 0.0 | 0 |
| WMa | 95.6 | 0.0 | 0.0 | 0.0 | 0 |
| RCIE | 47.79 | 60.85 | 41.08 | 73.41 | 34 |
| JCIE | 83.82 | 6.52 | 66.9 | 67.22 | 84 |
| GCIE | 49.0 | -36.83 | 2.78 | 36.95 | 176 |
| BCIE | 25.14 | -18.35 | -56.22 | 59.15 | 252 |

%Umfang
 $u^*_{rel} = 96$
 %Regularität
 $g^*_{H,rel} = -385$
 $g^*_{C,rel} = 62$

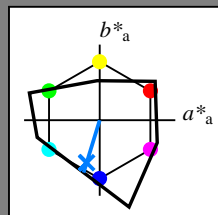


Ausgabe: Farbmétrisches Fernseh-Licht-System TLS00

für Buntton $h^* = lab^*h = 253/360 = 0.703$
 lab^*tch und lab^*nch

A: Buntton B
 LCH*Ma: 45 72 253
 olv*Ma: 0.0 0.49 1.0

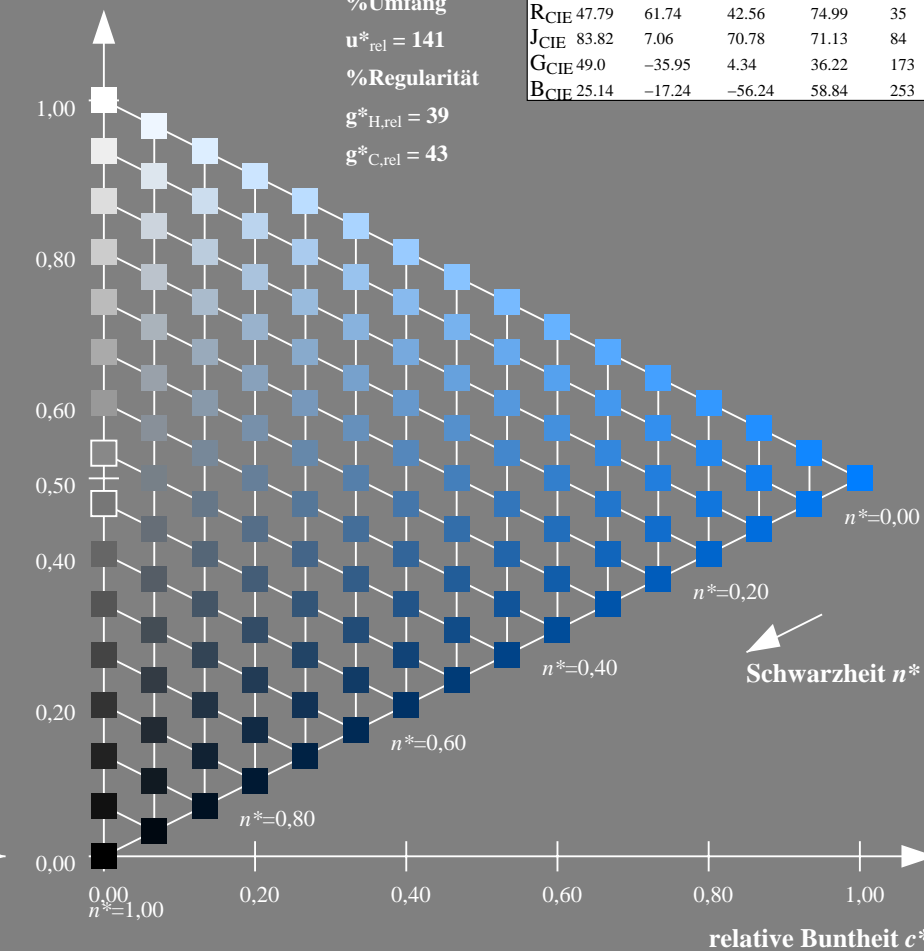
Dreiecks-Helligkeit t^*



TLS00; adaptierte CIELAB-Daten

| | $L^*=L^*_a$ | a^*_a | b^*_a | $C^*_{ab,a}$ | $h^*_{ab,a}$ |
|------|-------------|---------|---------|--------------|--------------|
| OMa | 65.56 | 73.34 | 51.39 | 89.55 | 35 |
| YMa | 94.78 | -3.49 | 52.24 | 52.36 | 94 |
| LMa | 77.48 | -92.97 | 36.0 | 99.71 | 159 |
| CMa | 78.36 | -82.69 | -22.74 | 85.77 | 195 |
| VMa | 12.55 | 38.81 | -114.81 | 121.2 | 289 |
| MMa | 66.71 | 76.08 | -29.8 | 81.71 | 339 |
| NMa | 0.01 | 0.0 | 0.0 | 0.0 | 0 |
| WMa | 95.41 | 0.0 | 0.0 | 0.0 | 0 |
| RCIE | 47.79 | 61.74 | 42.56 | 74.99 | 35 |
| JCIE | 83.82 | 7.06 | 70.78 | 71.13 | 84 |
| GCIE | 49.0 | -35.95 | 4.34 | 36.22 | 173 |
| BCIE | 25.14 | -17.24 | -56.24 | 58.84 | 253 |

%Umfang
 $u^*_{rel} = 141$
 %Regularität
 $g^*_{H,rel} = 39$
 $g^*_{C,rel} = 43$



RG700-7, 9stufige Reihen für konstanten CIELAB Buntton 252/360 = 0.7 (links)

16stufige Reihen für konstanten CIELAB Buntton 253/360 = 0.703 (rechts)

BAM-Prüfvorlage RG70; Farbmétrik-Systeme ORS18 & TLS00 input: olv* setrgbcolor
 A: 9 und 16stufige Farbreihen für 10 Bunttöne

output: no change compared to input

BAM-Registrierung: 20060101-RG70/10L/L70G09NP.PS/.PDF BAM-Material: Code=rh4ta
 Anwendung für Beurteilung und Messung von Drucker- oder Monitorssystemen
 /RG70/ Form: 10/10Serie: 1/1, Seite: 10
 Seitenhang 10

Siehe ähnliche Dateien: <http://www.ps.bam.de/RG70/>
 Technische Information: <http://www.ps.bam.de> Version 2.1, io=1,1